



IRANIAN SOCIETY OF
CRYSTALLOGRAPHY
and MINERALOGY

No. 2, 1386/2007 Fall & Winter

IRANIAN JOURNAL
of
CRYSTALLOGRAPHY
and MINERALOGY

Geothermometry of skarns in the Nain ophiolitic mélange (Isfahan Province)

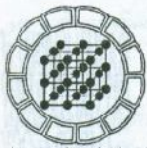
Gh. Torabi, I. Noorbehesht, N. Shirdashtzadeh, T. Pirnia

Department of Geology, Isfahan University
E-mail: Torabighodrat@yahoo.com

(Received:11/7/2006, received in revised form:26/5/2007)

Abstract: One of the metamorphic rocks in the Nain ophiolitic mélange is skarn which is formed during the contact metamorphism of intrusive tonalites with their neighboring limestones and carbonate parts of banded cherts. Minerals of these skarns consist of carbonate (calcite), clinopyroxene (diopside), garnet (grossular-andradite), wollastonite, sphene and epidote. Also tonalites contain quartz, plagioclase (albite), alkali feldspar (orthoclase), garnet (almandine-spessartine) and prehnite. Based on mineral assemblages of Nain skarns as well as geothermometry of feldspars existing in relevant granites and also applications of different calibrations of garnet-clinopyroxene geothermometer, the Nain skarns form at temperatures of about 440 to 650 °C at low pressure during a contact metamorphism which has occurred at hornblende hornfels to pyroxene hornfels facies.

Keywords: geothermometry, Nain, ophiolite, skarn, tonalite.



زمین دماسنجه اسکارن‌های موجود در افیولیت ملانژ نایین (استان اصفهان)

قدرت ترابی، ایرج نوری بهشت، نرگس شیردشتزاده، تهمینه پیرنیا

گروه زمین‌شناسی، دانشگاه اصفهان

پست الکترونیکی: Torabighodrat@yahoo.com

(دریافت مقاله ۱۳۸۵/۴/۲۰، دریافت نسخه نهایی ۱۳۸۶/۲/۵)

چکیده: از سنگ‌های دگرگون موجود در افیولیت ملانژ نایین می‌توان به اسکارن‌ها اشاره کرد. اسکارن‌ها حاصل دگرگونی مجاورتی توده‌های نفوذی تونالیتی با سنگ‌های آهکی مجاور و بخش‌های کربناته چرت‌های نواری هستند. به این ترتیب بخش‌های آهکی به اسکارن و بخش‌های نواری که شامل لایه‌های آهک و لایه‌های چرت است، به متاچرت‌های نواری تبدیل شده‌اند. اسکارن‌ها حاوی کانی‌های کربنات (کلسیت)، کلینوپیروکسن (دیوبسید)، گارنت (گروسولار-آئردادیت)، ولاستونیت، اسفن و اپیدوت‌اند. کانی‌های موجود در تونالیت‌ها نیز شامل کوارتز، پلاژیوکلاز (آلبیت-الیگوکلاز)، فلنسیت پتاسیک (ارتوكلاز)، گارنت (آلماندین-اسپسارتین)، پرهنیت است. با توجه به مجموعه کانی‌های موجود در اسکارن‌ها و با استفاده از زمین دماسنجه گارنت-کلینوپیروکسن، با سنجه‌بندی‌های مختلف، دمای تشکیل این اسکارن‌ها در حدود 440°C تا 650°C رخداد این دگرگونی در حد رخساره هورنبلند هورنفلس تا بخش‌هایی از رخساره پیروکسن هورنفلس بوده است.

واژه‌های کلیدی: اسکارن، افیولیت، تونالیت، زمین دماسنجه، نایین.

مقدمه

به منظور برآورد و محاسبه شرایط فشار و دمای حاکم بر محیط‌های دگرگون، تا کنون روش‌های گوناگونی توسط پژوهشگرانی پیشنهاد شده‌اند. یکی از معروف‌ترین آنها استفاده از زمین دماسنج گارنت - کلینوپیروکسن است. این زمین دماسنج براساس تبادل $\text{Fe} \cdot \text{Mg}$ بین گارنت و کلینوپیروکسن است که بهترین نتیجه را در مورد گرانولیت‌ها و اکلوژیت‌ها نشان می‌دهد. در حقیقت با توجه به میزان Ca بالای اسکارن‌ها و تشکیل آنها در شرایط فشار پایین‌تر، کاربرد این زمین دماسنج می‌تواند توام با خطا باشد. از آنجا که تا کنون زمین دماسنج خاصی برای اسکارن‌ها ارائه نشده، لذا در این مقاله سعی شده است تا تعیین گستره دما و فشار حاکم بر این اسکارن‌ها و با توجه به مجموعه کانی‌های موجود در آنها، و نیز زمین دماسنج گارنت - نفوذی توانایی همراه آنها، بهترین مقادیر فشار و دما با استفاده از زمین دماسنج گارنت - کلینوپیروکسن با سنجه‌بندی‌های مختلف مشخص شوند. این کار پژوهشی به بررسی سنگ شناختی، کانی‌شناسی و شرایط دما و فشار حاکم بر تشکیل این اسکارن‌ها خواهد پرداخت.

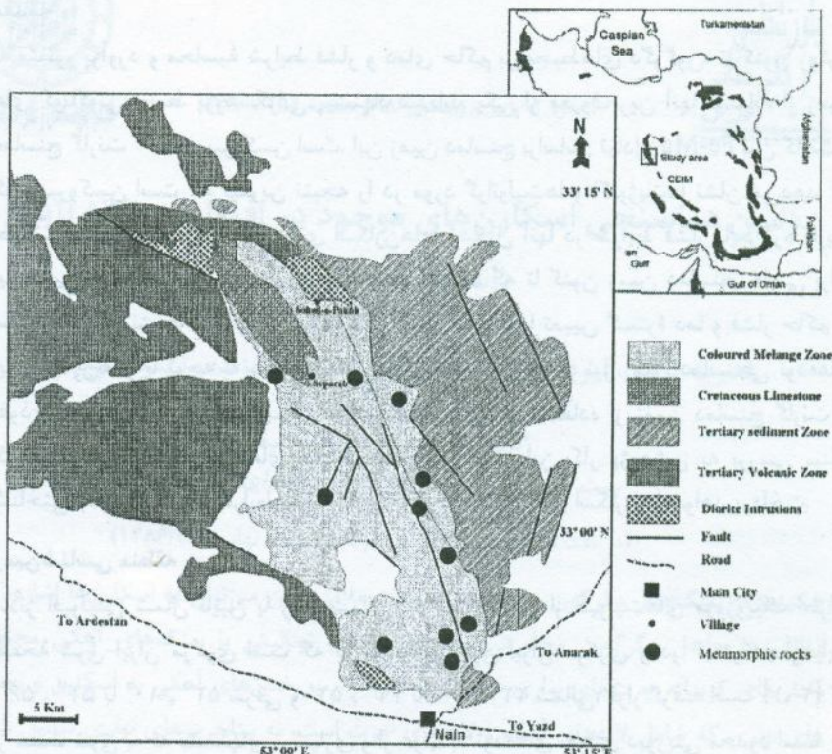
زمین‌شناسی منطقه

ملائز افیولیتی شمال نایین با روند شمالی - جنوبی یکی از افیولیت‌های مزوژوییک اطراف صفحه شرق-ایران مرکزی است که در لبه غربی زون ایران مرکزی و در گستره جغرافیایی $۵۶^{\circ}, ۵۲^{\circ}, ۱۰^{\circ}$ تا $۵۳^{\circ}, ۵۲^{\circ}, ۳۲^{\circ}$ شرقی و $۱۰^{\circ}, ۳۳^{\circ}$ شمالی، قرار گرفته است [۱] که از سمت شرق به ته نشستهای ترشیاری و از غرب به توده‌های نفوذی دیوریتی محدود است. در شکل (۱)، نقشه زمین‌شناسی منطقه شمال نایین و محل‌های رخمنون سنگ‌های دگرگون در افیولیت ملائز نایین آورده شده‌اند. از جمله راه‌های دسترسی به منطقه مورد نظر می‌توان به مسیر غربی-شرقی اصفهان-کوهپایه-نایین و نیز مسیر جنوبی-شمالی یزد-اردکان-نایین اشاره کرد.

از نظر سنگ‌شناسی این سکانس افیولیت به ترتیب شامل آهک‌های پلازیک، بازالت، گداره بالشی^۱، دایک‌های دیابازی، پلازیوگرانیت، گابر، پیروکسنیت، و پریدوتیت‌های گوشته است که لیستونیت و روдинگیت نیز در طول دگرسانی‌های بعدی در آنها به وجود آمده‌اند. سنگ‌های آهکی کرتاسه بالای این مجموعه افیولیتی را پوشانده‌اند [۱]. ولی سن سنگ آهک‌هایی که به اسکارن تبدیل شده‌اند مشخص نیست، ولی مطمئناً قدیمی‌تر از کرتاسه بالایی هستند.

1 Pillow lava

Chlorite schist



شکل ۱ نقشه پراکندگی افیولیت‌های ایران و موقعیت ناحیه مورد مطالعه و نیز نقشه زمین‌شناسی منطقه شمال نایین و موقعیت سنگ‌های دگرگونی در افیولیت نایین (برگرفته از [۱۵]، با اندکی تغییرات).

از جمله سنگ‌های دگرگون نیز می‌توان به سنگ‌های آمفیبولیتی (شامل آمفیبولیت و دایک‌های آمفیبولیتی)، شیست، مرمر، اسکارن، و متاچرت‌های نواری اشاره کرد که در فازهای مختلف دگرگونی به ترتیب از بازالت‌ها (شامل بازالت‌ها و گدازهای بالشی و دایک‌های دیابازی)، شیل‌ها، آهک‌ها، و چرت‌ها حاصل شده‌اند. این سنگ‌های دگرگون در بخش‌های شمالی شهر نایین، دامنه‌های شمالی افیولیت ملاتز نایین تا شرق سپرو (سپرآب) پراکنده‌اند (شکل ۲). در کوه زرد، سن قدیمی‌ترین آهک‌ها با توجه به حضور فسیل *Globotruncana*,

کمپانین-مائش تریشتین (کرتاسه بالایی) است که به همراه لایه‌های نازک چرت مشاهده می‌شوند. جوانترین سنگ‌های آهکی نومولیت-آلتوئلین‌دار و سنگ‌های ماسه‌ای نیز مربوط به اوسن زیرین‌اند [۱]. لذا سن احتمالی این ملاتز کرتاسه بالایی-اوسن است که پس از این زمان فازهای زمین ساختی شدیدی باعث بهم ریختگی این افیولیت شده و آن را به صورت ملاتز در آورده‌اند. براساس مطالعات انجام شده [۱]، بازالت‌های این افیولیت از نظر خاستگاه ماقمایی از نوع IAT^۳ است.

اسکارن‌های موجود در این منطقه تاکون توسط [۱، ۳ و ۴] مورد مطالعه قرار گرفته‌اند. علاوه بر اسکارن‌ها، متاجرتهای نواری نیز در منطقه دیده می‌شوند. براساس مطالعات صحرایی، این اسکارن‌ها همراه با چرت‌های دگرگون شده نواری، روی سنگ‌های آمفیبولیتی قرار گرفته (شکل‌های ۳A، ۳B و ۳C). به طور کلی این اسکارن‌ها که در نقاط مختلف این ملاتز افیولیتی پراکنده‌اند دارای گسترش فراوان و ارزش اقتصادی نیستند و در برخی از رخمنون‌ها ضخامت آنها به ۲ متر می‌رسد. اسکارن‌ها و متاجرتهای موجود در افیولیت ملاتز نایین در پی نفوذ دایک‌هایی از جنس تونالیت در آهک‌ها و لایه‌های متنابض آهک و چرت موجود در بخش‌های فوقانی این افیولیت به وجود آمده‌اند.

در مختصات جغرافیایی ۵۴,۸۳۷°، ۳۲۰° شمالی و ۷,۴۳۳°، ۵۳۰° شرقی، سنگ‌های بیگانه‌ای از جنس پریدوتیت‌های سرپانتینیتی شده، آمفیبولیت، متاجرته و هورنفلس در اسکارن‌ها یافت شده‌اند که در این مقاله با نام بروون بوم از آنها یاد می‌شود. این برونبومها بسته به شکل و اندازه‌شان گاه از خود نوعی دگرشكلي نشان داده و به صورت منحنی و پیچیده، و گاه در برابر انعطاف پذیری مقاومت کرده و به شکل عدسی در آمدده‌اند. علاوه بر این، دارای برگوارگی متفاوتی نسبت به برگوارگی موجود در کالبد اسکارنی خود هستند (شکل ۳). شباهت سنگ‌شناختی برخی از برونبومها با آمفیبولیت‌های مجاورشان نشان داد که این برونبومها از جنس آمفیبولیت‌های موجود در افیولیت ملاتز نایین هستند. این مسئله نشان می‌دهد آمفیبولیت‌ها نسبت به سنگ آهک‌هایی که اسکارن‌ها از آنها به وجود آمده‌اند، قدیمی‌ترند (شکل ۳)، به این ترتیب با مطالعه این برونبومها و برگوارگی موجود در اسکارن‌ها و آمفیبولیت‌های منطقه، رخداد سه پدیده دگرگونی مشخص را می‌توان در سنگ‌های این منطقه تشخیص داد که به ترتیب عبارتند از: دگرگونی ناحیه‌ای (M1) در حد رخساره آمفیبولیت-گرانولیت که موجب تشکیل

3 Island Arc Tholeiite

سنگ‌های آمفیبولیتی از بازالت‌های موجود در افیولیت و ایجاد برگوارگی در آنها شده‌است. دگرگونی مجاورتی (M2) که اسکارن‌ها و متاقرنت‌ها را بوجود آورده، و بالاخره دگرگونی ناحیه‌ای (M3) در حد رخساره شیست سبز و پرهنیت-پومپیله ایت که موجب برگوارگی دوباره در اسکارن‌ها، توده‌های نفوذی تونالیتی، و آمفیبولیت‌ها شده است.

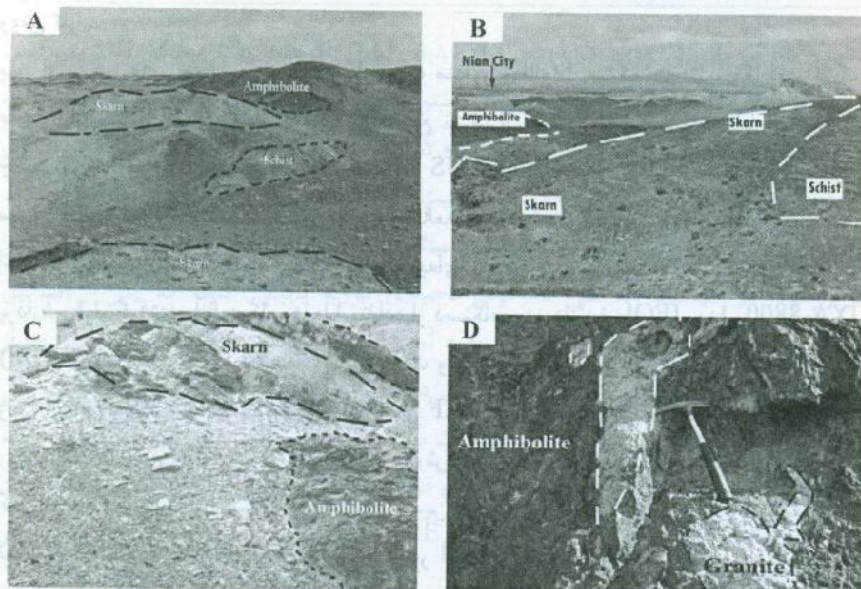
انواع سنگ‌های گرانیتوییدی موجود در افیولیت نایین را که در نقاط مختلف این افیولیت پراکنده‌اند می‌توان به سه دسته تقسیم کرد:

۱) گروه اول پلاژیوگرانیت‌ها که دارای کوارتز، پلاژیوکلاز و آمفیبولاند و گاه بر اثر رودینگینیت شدن پرهنیت و کلریت نیز در آنها یافت می‌شود. این گرانیت‌ها ناشی از جداسدن ماقمای سازنده گابروها هستند [۱].

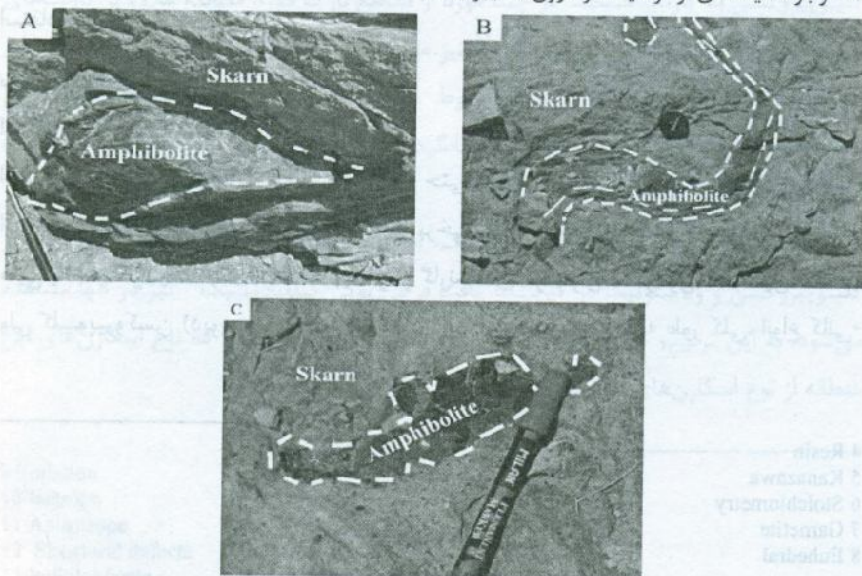
۲) این گروه گرانیت‌ها بی‌را تشکیل می‌دهند که شامل کانی‌های کوارتز، فلدسپات از نوع پلاژیوکلاز و ارتوکلاز و مسکویت‌اند. با توجه به کانی‌های موجود، این گرانیت نسبت به دو گروه دیگر گرانیتوییدها دارای پتانسیم بالاتری هستند. خاستگاه این گرانیت‌ها هنوز مورد سؤال است، ولی براساس مطالعات [۵]، روی سنگ‌های مشابه در افیولیت عمان، ممکن است این سنگ‌ها یکی از قطب‌های ترکیبی آبغون گرانیتی باشند که از درجات کم ذوب بخشی سنگ‌های بسیار تهی و دگرسان حاصل شده باشند. بر خلاف گرانیت‌های قبلی، در این گرانیت‌ها شواهدی از دگرگونی مشاهده نمی‌شود.

۳) این گروه از گرانیتوییدها که تنها رخمنون قابل مشاهده آنها به صورت دایک‌هایی در درون آمفیبولیت‌هاست (شکل ۲D) و از نظر کانی‌شناسی از کوارتز، فلدسپات، گارنت و رگه‌های پرهنیت تشکیل شده‌اند. کانی‌شناسی این سنگ‌ها نشان می‌دهد که در این سنگ‌ها فراوانی کوارتز در حدود ۴۰-۵۰٪ و پلاژیوکلاز حدوداً ۴۰ تا ۵۰٪ است. از این رو نوع این توده‌های گرانیتوییدی را می‌توان تونالیت تا کوارتز دیوریت دانست. دگرگونی ناحیه‌ای که عامل برگوارگی اسکارن‌ها بوده است، روی این سنگ‌ها نیز اثر کرده و موجب دگرگون شدن آنها شده است.

براساس مطالعات صحرایی، به دلیل بهم ریختگی شدید این ملاتر افیولیتی، همیری بین اسکارن‌های نایین با گرانیتوییدهای این منطقه مشاهده نشد. ولی حضور و نفوذ دایک‌هایی از جنس تونالیت در آمفیبولیت‌های این منطقه و مجاورت و تماس آمفیبولیت‌ها با اسکارن‌ها می‌تواند مovid ارتباط ژنتیکی اسکارن‌ها با گروه سوم از انواع توده‌های نفوذی یاد شده باشد. علاوه بر این از میان این توده‌های نفوذی موجود در منطقه، تنها در تونالیت‌های یاد شده، که موجب دگرگونی لایه‌های کربناته روی آمفیبولیت‌های نایین شده و آنها را به اسکارن تبدیل کرده‌اند، می‌توان برگوارگی مشابه برگوارگی اسکارن‌ها را مشاهده کرد.



شکل ۲ (A) و (B) آمفیبولیت، اسکارن و شیست‌های موجود در بخش‌های میانی افیولیت نایین (نگاه به جنوب)؛ (C) تصویری از روابط صحرایی اسکارن‌ها و آمفیبولیت‌های موجود در افیولیت ملاتر نایین؛ (D) وجود دایک‌های از تونالیت در درون آمفیبولیت‌ها.



شکل ۳ وجود برون بومهایی از جنس آمفیبولیت در درون اسکارن‌های افیولیت ملاتر نایین.

روش کار

پس از بررسی‌های صحرایی و نمونه‌برداری، به منظور مطالعات سنگ‌شناختی، مقاطعی نازک صیقلی از سنگها تهیه شدند. تعداد ۲۰ مقطع نازک از اسکارن‌ها و تونالیت‌ها با استفاده از چسب رزین^۴ آماده و با میکروسکوپ قطبند OLYMPUS مدل BH-2 (دانشگاه اصفهان) مورد مطالعه قرار گرفتند. از میان مقاطع مطالعه شده چند مقطع از اسکارن‌ها و تونالیت‌ها انتخاب شدند و پس از آنکه سطح آنها با لایه‌ای از کربن پوشش داده شد مورد آنالیز ریز پردازش قرار گرفتند. آنالیز کانی‌ها با استفاده از دستگاه ریزپردازند JEOL مدل JXA-8800 (WDS) و با ولتاژ شتاب دهنده ۱۵ کیلو ولت و شدت جریان ۱۵ nA در دانشگاه کانازاوا^۵ ژاپن انجام گرفت. در این دستگاه از نرم افزار ZAF برای تصحیح داده‌ها استفاده می‌شود. از روش عنصرسنجی^۶ ارائه شده توسط [۶] و روش [۷] نیز برای دستیابی به فرمول ساختاری کانی‌ها و محاسبه Fe^{3+} استفاده شد. برای زمین دماستنجی اسکارن‌های نایین، نخست دمای تشکیل و پایداری کانی‌های مختلف موجود در آنها مورد بررسی قرار گرفتند و سپس با نرم افزار SOLVAC از دو زمین دماستنج آلکالی فلدسپات و آلکالی فلدسپات-پلازیوکلаз به منظور تعیین شرایط دمایی حاکم بر تونالیت‌هایی که عامل شکل‌گیری اسکارن‌ها بوده‌اند استفاده شد. نرم افزار Microsoft Excel نیز برای محاسبات زمین دماستنجی گارنت-کلینوپیروکسن مورد استفاده قرار گرفت.

سنگ شناختی

اسکارن‌ها

اسکارن‌های نایین سنگ‌هایی همگن نیستند و حتی در یک نمونه دستی، با تمرکزهای مختلفی از کانی‌ها دیده می‌شوند، به طوری که گاه در برخی نقاط تجمع گارت موجب پیدایش سنگ‌هایی به نام گارنتیت^۷ شده‌است که بیشتر از گارنت‌های اتوهدرا (دگرگون)^۸ تشکیل شده‌اند ولی کلینوپیروکسن (دیوپسید) و کلسیت نیز در آنها مشاهده می‌شود. به طور کلی، انواع کانی-

4 Resin

5 Kanazawa

6 Stoichiometry

7 Garnetite

8 Euhedral

هایی که در اسکارن‌های نایین می‌توان دید شامل کربنات (کلسیت)، کلینوپیروکسن (دیوپسید)، گارنت (گراسولار-آندرادیت)، ولستونیت، اسفن و اپیدوت است (شکل های ۴A، ۴B، ۴C و ۴D). کلسیت‌ها در این سنگ‌ها به دو شکل اولیه و ثانویه وجود دارند. کلسیت‌های اولیه طی دگرگونی کانی‌های آهکی و کلسیت‌های ثانویه بر اثر دگرسانی کانی‌هایی مانند کلینوپیروکسن و گارنت به وجود آمدند. سمتگیری رخ‌های موجود در این کلسیت‌ها بیانگر برگوارگی^۹ در آنهاست که طی دگرگونی ناحیه‌ای درجه پایینی است که پس از تشکیل اسکارن‌ها بر این سنگ‌ها تاثیر کرده به وجود آمده است. پیروکسن موجود در این سنگ‌ها از نوع کلینوپیروکسن و ولستونیت‌اند. اغلب کانی‌های این اسکارن‌ها حالت خرد شده دارند، ولی کلینوپیروکسن، ولستونیت و اسفن که مقاومت بیشتری در برابر فشارهای زمین ساختی دارند، نسبتاً سالم تر باقی مانده‌اند. در درون دانه‌های درشت گارنت می‌توان بقایایی از کلینوپیروکسن و ولستونیت را مشاهده کرد (شکل ۴C و ۴E). وجود باقیمانده‌های از کلینوپیروکسن در گارنت (بافت باقیمانده) بیانگر تبدیل برخی کلینوپیروکسن‌ها به گارنت و تقدم تشکیل کلینوپیروکسن و ولستونیت نسبت به گارنت است (شکل ۴F). در مواردی هم گارنت در راستای رخ‌های کلینوپیروکسن مشاهده می‌شود که همه آنها شاهدی برای تبدیل کلینوپیروکسن به گارنت هستند. در چند مورد از مقاطع نازک مورد مطالعه علاوه بر گارنت‌های همسانگرد^{۱۰}، گارنت‌های آن ناهمسانگرد^{۱۱} نیز مشاهده شد که حضور آنها را می‌توان به نقص نارا سیستمهای ساختاری^{۱۲} گارنت‌ها مربوط دانست که به شکل هالهای از گارنت آن ناهمسانگرد پیرامون در اطراف گارنت همسانگرد مشاهده می‌شود و بیانگر مراحل دگرگونهای است (شکل ۴G).

بافت اصلی این سنگ‌ها گرانوبلاستیک است ولی با توجه به وجود نفوذهایی از کلینوپیروکسن و ولستونیت در گارنت‌ها، بافت فرعی پویی کیلوبلاستیک^{۱۳} نیز در آنها مشاهده می‌شود. به این ترتیب کانی‌شناسی اسکارن‌های نایین بیانگر این است که نوع اسکارن‌های این منطقه از نوع اسکارن‌های گارنت و کلینوپیروکسن دار است.

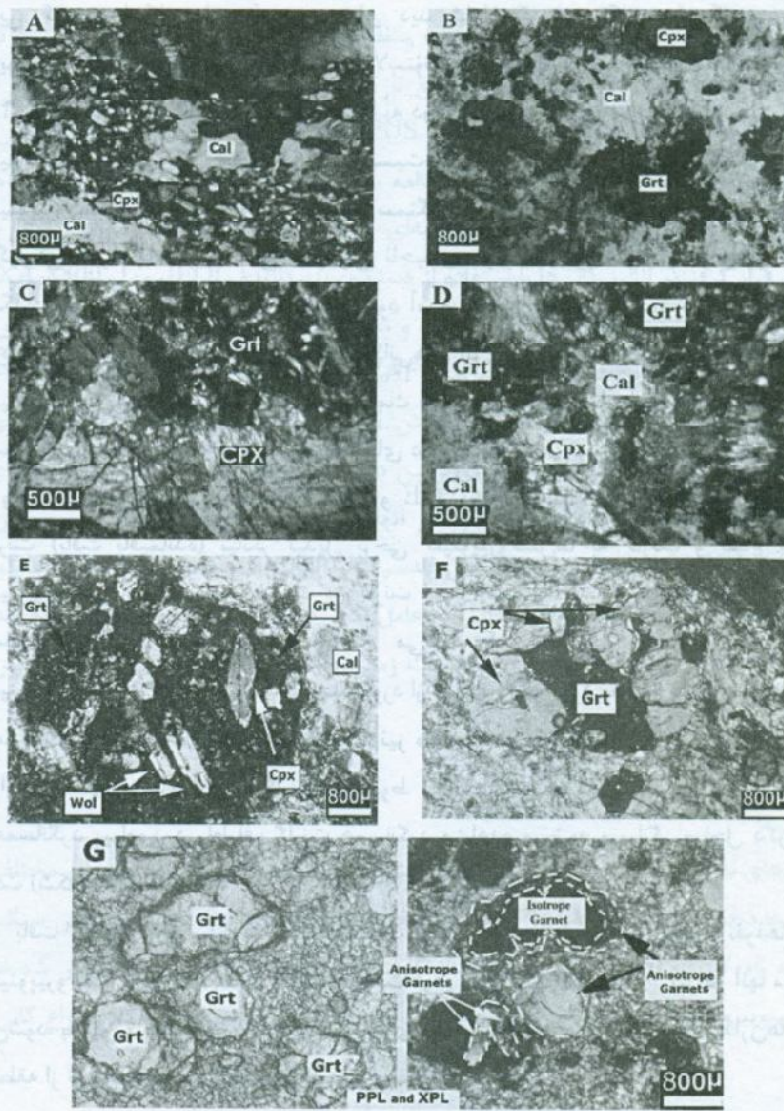
9 Foliation

10 Isotrope

11 Anisotrope

12 Structural defects

13 Poikiloblastic



شکل ۴ (A) و (B). تصاویر میکروسکوپی اسکارن‌ها (XPL, x25) که در آنها مجموعه کانی‌های گارنت (Grt)، کلینوپیروکسن (Cpx) و کلسیت (Cal) دیده می‌شوند. در تصاویر میکروسکوپی (C) و (D) بقایایی از کلینوپیروکسن در درون گارنت‌ها دیده می‌شوند (XPL, x40). تصویر (E) نمایی از حضور ولاستونیت در گارنت؛ تصویر (F) نمایی از تشکیل گارنت از کلینوپیروکسن و تصویر (G) نمایش گارنت‌های ان ایزوترب. اختصارهای به کار رفته برای اسامی کانی‌ها برگرفته از [۸] می‌باشد.

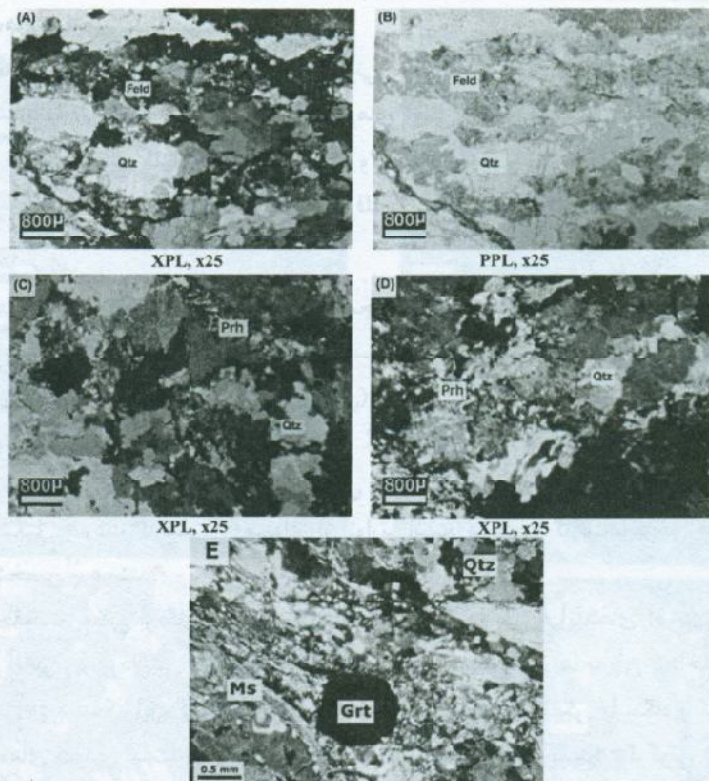
متاچرخ‌های نواری

این سنگ‌ها به همراه اسکارن‌ها و طی دگرگونی مجاورتی از لایه‌های متناوب چرت و آهک حاصل شده‌اند. این گروه از سنگ‌ها در بخش‌های آهکی خود، کانی‌هایی شبیه اسکارن‌ها را دارند (همانند کلسیت، کلینوپیروکسن، گارنت، ولستونیت، اسفن و اپیدوت) ولی در بخش‌های سیلیسی خود دارای کانی‌هایی همچون کوارتز، فلدوپات، کانی‌های رسی و کلریت هستند.

تونالیت‌ها

تونالیت‌های این منطقه که عامل دگرگونی مجاورتی و تشکیل اسکارن‌ها بوده‌اند عموماً از کوارتز با حاشیه مضرس و خاموشی موجی، فلدوپات پتاسیم (ارتوكلاز) و یازدیوکلاز (آلبیت)، و قطعات ریز دانه گارنت (آلمندین-اسپارتین) تشکیل شده‌اند که گاه به وسیله رگه‌های پرهنیت قطع شده‌اند (شکل‌های ۵A و ۵C). البته اغلب فلدوپات‌های موجود در این سنگ‌ها دستخوش دگرسانی شده و سریسیتی شده‌اند. وجود نفوذیهایی از کوارتز در گارنت بیانگر تشکیل و رشد گارنت در زمینه‌ای از کوارتز است. در میان گارنت‌ها برخی دارای مرز کاملاً مشخصی^{۱۴} هستند.

در حقیقت بعضی از گارنت‌های موجود در این سنگ‌ها طی فرآیندهای آذرین به وجود آمده‌اند. آنالیز ریز پردازشی این گارنت‌ها (که در بخش شیمی کانی‌ها به آن پرداخته خواهد شد) نشان می‌دهد که این گارنت‌ها مقادیر MnO بالایی دارند که بیانگر خاستگاه و گونه S در این توده‌های نفوذی است. ولی گروه دیگری از گارنت‌ها هم طی پدیده دگرگونی ناحیه‌ای (M3) تشکیل شده‌اند. این گارنت‌ها علی‌رغم تاثیر پدیده دگرگونی دارای مرز کاملاً مشخصی بوده و سالم باقی مانده‌اند. بنابر مطالعات زیادی از جمله [۹، ۱۰، ۱۱]، وجود Mn بالای گارنت‌ها می‌تواند نشانه تشکیل آنها طی دگرگونی درجه پایین باشد. لذا پیدایش این گارنت‌ها را می‌توان به رخداد یک دگرگونی ناحیه‌ای ضعیفی (در حد رخساره شیست سبز) مربوط دانست که پس از دگرگونی مجاورتی تونالیت‌ها با اسکارن‌ها، این سنگ‌ها را تحت تاثیر قرار داده است. همچنین سالم بودن گارنت‌ها و حاشیه مشخص آنها نشان می‌دهد که این کانی طی فرآیندهای آذرین تشکیل نشده‌اند زیرا همانند سایر کانی‌ها و گارنت‌های دیگر دستخوش خردشدنی یا تغییر شکل نشده، بلکه بعدها طی رویداد یک دگرگونی به وجود آمده‌اند. تاثیر این دگرگونی را می‌توان به صورت پدیده تبلور دوباره در کوارتزهای موجود در این سنگ‌ها مشاهده کرد.



شکل ۵ (A)، (B)، (C) و (D): تصاویر میکروسکوپی تونالیت‌ها (XPL و PPL، x25). کانی‌های کوارتز (Qtz)، فلدسپات (Feld) و پرهنیت (Prh) دیده می‌شوند. در تصویر (E) گارنت سالم و خرد نشده با مرزهای مشخص که طی دگرگونی ناحیه‌ای در این سنگ‌ها به وجود آمده است. اختصارهای به کار رفته برای اسامی کانی‌ها برگرفته از [۸] است.

بطور کلی بافت این سنگ‌ها دانه‌ای و گرانولار بوده و دانه‌ها به صورت بخش بلورین (ساب^{۱۵} هدرال) تا به شکل (ان هدرال)^{۱۶} اند. پرهنیت موجود در این سنگ‌ها که ثانویه بوده و تشکیل رگه‌های پرهنیتی را داده بیانگر تاثیر آبغونها کلسیک هستند. سنگهای دگرگون مجاورتی، سنگ‌های تونالیتی، سنگ‌های متاثر از شاره‌های عناصر Al، Ti، P و Ca از سنگ‌های Na تقریباً همواره در حرکت هستند [۱۱]. لذا ممکن است Ca از سنگ‌های

15 Subhedral
16 Anhedral

های آهکی وارد این شاره‌ها شده باشند. البته پرهنیت‌ها ممکن است حاصل دگرسانی پلازیوکلازهای بازیک باشند ولی حالت رگه‌ای آنها در این سنگ‌ها بیشتر می‌تواند اثر نفوذ شاره‌ها را در درون شکستگی‌ها نشان دهد.

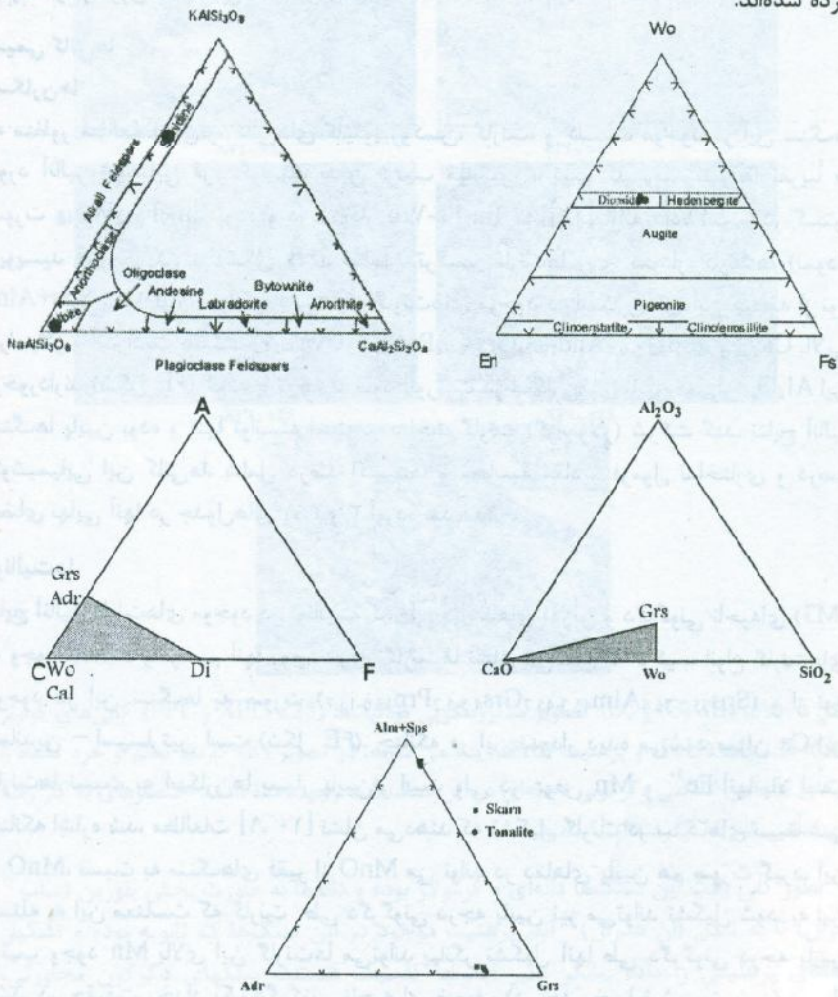
شیمی کانی‌ها اسکارن‌ها

به منظور مطالعه دقیق‌تر، کانی‌های کلینوپیروکسن، گارنت، و کلسیت موجود در این سنگ‌ها مورد آنالیز شیمیایی قرار گرفتند. بدین ترتیب میانگین ترکیب کلینوپیروکسن‌ها تقریباً به صورت $\text{En}_{29}\text{Fs}_{22}\text{Wo}_{48}$ بوده و در نمودار En-Fs-Wo که [۱۲] ارائه داده است، در گستره دیوپسید قرار می‌گیرند (شکل B). نمایش ترکیب گارنت‌ها روی نمودار گارنت‌ها (نمودار Dr-Grs-Sps+Alm) بیانگر اینست که گارنت‌های موجود در اسکارن‌های این منطقه از نوع گراسولار و آندرادیت هستند ($\text{Sps}_{0.5-0.8}\text{And}_{19.21}\text{Grs}_{76.78}\text{Prp}_{0.6-1.5}\text{Uva}_{0-0.1}$). و از Ca (Sps_{0.5-0.8}And_{19.21}Grs_{76.78}Prp_{0.6-1.5}Uva_{0-0.1}) برخوردارند (شکل E). البته با توجه به نبود آنورتیت در اسکارن‌های نایین، میزان Al_2O_3 این سنگ‌ها پایین بوده و تنها توانسته است در ساخت گارنت (گراسولار) شرکت کند. نتایج آنالیز ژئوشیمیایی این کانی‌ها، شامل درصد اکسیدها و محاسبه مقادیر فرمول ساختاری و درصد اعضای نهایی آنها در جدول‌های ۱، ۲ و ۳ آورده شده‌اند.

تونالیت‌ها

نتایج آنالیز گارنت‌های موجود در تونالیت، که طی فرایندهای آذرین و دگرگونی ناحیه‌ای (M3) به وجود آمده‌اند و ترسیم آنها روی نمودار گارنت‌ها نشان می‌دهد که ترکیب انواع گارنت‌های موجود در این سنگ‌ها به صورت $\text{Sps}_{35.2-36.4}\text{Alm}_{45.3-45.7}\text{Grs}_{4.5-5.2}\text{Prp}_{13.6-13.7}$ و از نوع الماندین – اسپسارتین است (شکل E). چنانکه در این نمودار دیده می‌شود میزان Ca این گارنت‌ها نسبت به اسکارن‌ها بسیار پایین‌تر است ولی در عوض Mn و Fe^{2+} آنها بالا است. چنانکه اشاره شد، مطالعات [۱۰، ۹] نشان می‌دهند که تشکیل گارنت در سنگ‌های نسبتاً غنی از MnO ، نسبت به سنگ‌های فقیر از MnO می‌تواند در دماهای پایین هم صورت گیرد، این مسئله به این معناست که گارنت طی دگرگونی درجه پایین نیز می‌تواند تشکیل شود. به این ترتیب وجود Mn بالای این گارنت‌ها می‌تواند بیانگر تشکیل آنها طی دگرگونی درجه پایین باشد. در حقیقت رخداد یک دگرگونی ناحیه‌ای ضعیف (در حد رخساره شیست سبز) پس از دگرگونی مجاورتی تونالیت‌ها با اسکارن‌ها این سنگ‌ها را تحت تاثیر قرار داده و موجب تشکیل این گارنت‌های غنی از MnO و نیز تبلور دوباره کوارتزهای موجود در تونالیت‌ها شده است. چنانکه قبل‌اً اشاره شد، شواهد پیدایش این دگرگونی درجه پایین در اسکارن‌ها تنها به صورت شکل‌گیری برگوارگی در این سنگ‌ها بوده است. نوع فلدسپات‌های موجود نیز که روی دیاگرام Ab-An-Or نمایش داده شده‌اند از نوع آلبیت ($\text{Ab}_{90.46}\text{Or}_{0.57}\text{An}_{0.03}$) و ارتوکلاز ($\text{Ab}_{31.51}$)

(Or_{68.03} An_{0.46} A) هستند (شکل ۶). نتایج آنالیز ژئوشیمیایی این کانی‌ها، شامل درصد اکسید‌ها و محاسبه مقادیر فرمول ساختاری، و درصد اعضای نهایی آنها در جداول های ۴، ۵ و ۶ آورده شده‌اند.



شکل ۶ (A) ترکیب پلازیوکلازها و ارتوکلازهای موجود در تونالیت‌ها در نمودار Or-Ab-An به ترتیب عبارتند از الیگوکلاز و اورتوز؛ (B) نمایش ترکیب کلینوپیروکسن‌های موجود در استکارن‌ها در نمودار ارانه شده توسط [۱] نشان می دهد که نوع آنها دیویسید است؛ (C) نمودار پارازنز کانی‌های موجود در استکارن‌ها روی نمودار ACF و نمودار CaO-Al₂O₃-SiO₂؛ (D) ترکیب گارنت موجود در استکارن‌ها و تونالیت‌ها. اختصارهای به کار رفته برای اسمی کانی‌ها برگرفته از [۸] است.

زمین دماستجی اسکارن‌های موجود در افیولیت ...

۳۷۱

جدول ۱ نتایج آنالیز ریزپردازندۀ الکترونی کانی‌های اسکارن‌های افیولیت ملازنز نایین

(Cpx=Clinopyroxene; Wo=Wollastonite; Cal=Calcite; Grt=Garnet)

Sample	Mineral Type	SiO ₂ %	TiO ₂ %	Al ₂ O ₃ %	Cr ₂ O ₃ %	FeO* %	MnO %	MgO %	CaO %	Na ₂ O %	K ₂ O %	NiO %	Total %
۵۲۱-۱	Cpx ^۳	۵۲,۱۱۲	۰,۱۲	۰,۳۲۰	۰,۰۵۱	۱۲,۹۱۲	۰,۲۶۸	۱,۲۶۲	۲۲,۸۴۱	۰,۲۱۵	۰,۱۵	۰,۰۰۰	۱۰۰,۱۵۸
۵۲۱-۲	Cal ^۳	۵۲,۰۱۰	۰,۰۰۶	۰,۰۰۳	۰,۰۰۰	۰,۳۳	۰,۰۶۸	۰,۰۲۳	۵۹,۸۱۲	۰,۰۰۰	۰,۰۰۳	۰,۰۰۰	۵۹,۹۵۸
۵۲۱-۳	Sphene ^۳	۳۰,۹۳-	۳۷,۱۱۲	۲,۶۹۱	۰,۰۷-	۰,۴۱-	۰,۰۳۹	۰,۰۰۰	۲۲,۹۸۶	۰,۰۲۱	۰,۱۲	۰,۰۰۰	۹۹,۲۸۱
۵۲۲-۱	Wo ^۴	۵۱,۴۹-	۰,۰۱۶	۰,۰۰۱	۰,۰۰۷	۰,۱۵۲	۰,۱۷۰	۰,۰۵۱	۴۷,۷۴۷	۰,۰۱۳	۰,۰۰۶	۰,۰۰۰	۹۹,۶۵۳
۵۲۲-۲	Grt ^۳	۳۹,۵۶۴	۰,۶۸۰	۱۶,۳۱۴	۰,۰۴۰	۸,۰۱۷	۰,۲۴۲	۰,۱۵۷	۳۵,۰۹۸	۰,۰۰۰	۰,۰۳۱	۰,۰۰۰	۱۰۰,۲۴۴
۶۸	Wo	۵۲,۰۶-	۰,۰۰۰	۰,۰۰۴	۰,۰۰۰	۰,۲۰۲	۰,۱۴۱	۰,۰۹۲	۴۵,۷-۲	۰,۰۳۹	۰,۱۹	۰,۰۰۰	۹۸,۲۵۹
۶۹	Grt	۳۸,۶۲-	۰,۶۵۱	۱۵,۷۳۷	۰,۰۰۰	۸,۰۵۶	۰,۲۹۲	۰,۰۷	۳۲,۹۳۶	۰,۰۰۰	۰,۰۰۰	۰,۰۰۰	۱۰۰,۰۰۰
۷۰	Grt	۳۹,۸-۸	۰,۹۲۴	۱۵,۷۲۱	۰,۰۰۰	۷,۰۵۲	۰,۲۲۰	۰,۳۶۴	۳۵,۳۵۹	۰,۰۱۵	۰,۰۳۳	۰,۰۰۰	۱۰۰,۰۰۰
۷۱	Cal	۵۰,۰۰۸	۰,۲۶-	۰,۰۰۰	۰,۰۰۰	۰,۰۱۷	۰,۰۰۳	۰,۰۰۱	۵۰,۰۵۶	۰,۰۰۹	۰,۰۰۹	۰,۰۰۰	۵۰,۶۲۳
۷۵	Cpx	۵۱,۴۷۸	۰,۰۲-	۱,۱-۰	۰,۰۰۰	۱۳,۱۹۹	۰,۶۶۴	۹,۴۴۷	۲۲,۰۰۶	۰,۱۹۵	۰,۰۰۹	۰,۰۰۰	۹۹,۲۲۷
۷۶	Cpx	۵۱,۶-۰	۰,۰۱۸	۱,۲۴۱	۰,۰۰۰	۱۲,۶۲۷	۰,۶۷۵	۹,۸۶۷	۲۲,۵۸۷	۰,۱۶۵	۰,۰۰۰	۰,۰۰۰	۹۹,۷۱۹

جدول ۲ مقادیر مربوط به محاسبه فرمول ساختاری کانی‌های جدول ۱.

Sample	Mineral Type	Oxygen in formula	Si	Ti	Al	Cr	Fe ²⁺	Fe ³⁺	Mn	Mg	Ca	Na	K	Ni	Total
۵۲۱-۱	Cpx ^۳	۶	۲۰,۲۶	۰,۰۰۰	۰,۱۷	۰,۰۰۰	۰,۴۱۲	۰,۰۰۰	۰,۱۲	۰,۵۸۴	۰,۹۳۲	۰,۱۸	۰,۰۰۰	۰,۰۰۰	۴,۰۱
۵۲۱-۲	Cal ^۳	۲	۰,۰۰۰	۰,۰۰۰	۰,۰۰۰	۰,۰۰۰	۰,۰۰۰	۰,۰۰۰	۰,۰۰۱	۰,۰۰۱	۰,۹۹۸	۰,۰۰۰	۰,۰۰۰	۰,۰۰۰	۱,۰۱
۵۲۱-۳	Sphene ^۳	۵	۱,۰۰۴	۰,۹۰۶	۰,۱۰۳	۰,۰۰۲	۰,۰۰۰	۰,۰۰۰	۰,۰۰۱	۰,۰۰۰	۰,۹۷۴	۰,۰۰۲	۰,۰۰۰	۰,۰۰۰	۲,۰۰
۵۲۲-۱	Wo ^۴	۲	۰,۱۹۹	۰,۰۰۰	۰,۰۰۰	۰,۰۰۰	۰,۰۰۰	۰,۰۰۰	۰,۰۰۱	۰,۰۰۰	۰,۹۹۳	۰,۰۰۰	۰,۰۰۰	۰,۰۰۰	۱,۹۹۸
۵۲۲-۲	Grt ^۳	۱۲	۳,۰۳۹	۰,۳۹	۱/۴۷۶	۰,۰۰۲	۰,۱۵۴	۰,۳۶۱	۰,۰۲۲	۰,۰۱۸	۲,۸۸۸	۰,۰۰۰	۰,۰۳	۰,۰۰۰	۱,۰۰۳
۶۸	Wo	۶	۲,۰۵۰	۰,۰۰۰	۰,۰۰۰	۰,۰۰۰	۰,۱۴	۰,۰۰۷	۰,۰۰۰	۰,۰۰۵	۱,۹۲۹	۰,۰۰۳	۰,۰۰۱	۰,۰۰۰	۴,۰۰۱
۶۹	Grt	۱۲	۳,۰۰۴	۰,۳۸	۱/۴۴۲	۰,۰۰۰	۰,۱۰۰	۰,۴۷	۰,۰۱۹	۰,۰۰۰	۱,۹۱۲	۰,۰۰۰	۰,۰۰۰	۰,۰۰۰	۱,۰۰۰
۷۰	Grt	۱۲	۳,۰۰۴	۰,۳۸	۱/۴۴۲	۰,۰۰۰	۰,۱۴۰	۰,۳۴۱	۰,۰۱۴	۰,۰۰۰	۱,۹۱۰	۰,۰۰۰	۰,۰۰۰	۰,۰۰۰	۱,۰۰۰
۷۱	Cal	۳	۰,۰۰۰	۰,۰۰۰	۰,۰۰۰	۰,۰۰۰	۰,۰۰۰	۰,۰۰۰	۰,۰۰۱	۰,۰۰۰	۰,۹۹۹	۰,۰۰۰	۰,۰۰۰	۰,۰۰۰	۱,۰۰۰
۷۵	Cpx	۶	۱,۹۸۶	۰,۰۰۱	۰,۰۵۰	۰,۰۰۰	۰,۴۲۶	۰,۰۰۰	۰,۰۲۲	۰,۰۲۳	۰,۹۵۱	۰,۰۱۵	۰,۰۰۰	۰,۰۰۰	۳,۹۹۶
۷۶	Cpx	۶	۱,۹۷۶	۰,۰۰۱	۰,۰۶۶	۰,۰۰۰	۰,۳۹۹	۰,۰۰۰	۰,۰۲۲	۰,۰۶۳	۰,۹۶۸	۰,۰۱۲	۰,۰۰۰	۰,۰۰۰	۴,۰۰۲

جدول ۳ نتایج محاسبه درصد اعضای نهایی کلینوپیروکسن و گارنت موجود در اسکارن‌های افیولیت ملاتز نایین.

Sample	Grt† (۵۳۲-۲)	Grt (۶۹)	Grt (۷۰)	Cpx‡ (۵۲۱-۱)	Cpx (۷۵)	Cpx (۷۶)	Wo (۵۳۲-۱)
Uvarovite	%۰,۱۲	%۰,۰۰	%۰,۰۰				
Andradite	%۱۹,۲۲	%۶۲۴,۱۰	%۶۱۸,۷۳				
Grossular	%۷۴,۳۵	%۷۱,۴۶	%۷۷۴,۷۷				
Almandine	%۴,۹۱	%۶۲,۶۲	%۶۴,۵۵				
Pyrope	%۰,۵۸	%۱,۱۶	%۱,۳۳				
Spessartine	%۰,۷۱	%۰,۶۳	%۰,۴۶				

Sample	Cpx‡ (۵۲۱-۱)	Cpx (۷۵)	Cpx (۷۶)	Wo (۵۳۲-۱)
Wollastonite	%۴۷,۴۵	%۴۸,۵۹	%۴۹,۴۹	%۶۹,۸,۹۸
Enstatite	%۲۹,۸۰	%۲۷,۷۷	%۲۸,۸۰	%۰,۲۸
Ferrosilite	%۲۱,۲۲	%۲۲,۹۰	%۲۱,۵۳	%۰,۵۱
Aemite	%۰,۸۱	%۰,۷۵	%۰,۶۲	%۰,۱۵

جدول ۴ نتایج آنالیز ریزپردازندۀ الکترونی کانی‌های موجود در دایک‌های تونالیتی افیولیت ملاتز نایین.
(Kfs=K-Feldspar; Grt=Garnet; Pl=Plagioclase)

Sample	Mineral Type	SiO ₂ %	TiO ₂ %	Al ₂ O ₃ %	Cr ₂ O ₃ %	FeO*	MnO %	MgO %	CaO %	Na ₂ O %	K ₂ O %	NiO %	Total %
۲۶	Grt	۳۷,۸۸۷	۰,۱۱۵	۲۱,۳۲۲	۰,۰۱۵	۲۰,۳۷۴	۱۶۲۰,۸۲	۲,۴۵۷	۱,۶۱۴	۰,۰۴۱	۰,۱۱۲	۰,۰۱۱	۱۰۰,۱۹
۲۷	Pl	۵۷,۵۲۶	۰,۰۰۰	۱۶,۸۸۵	۰,۰۴۵	۰,۰۲۲	۰,۰۱۳	۰,۰۰۰	۰,۰۵۸	۱۱,۴۳۱	۰,۱۰۲	۰,۰۰۰	۹۹,۴۸۲
۲۸	Grt	۳۸,۱۱۳	۰,۰۹۳	۲۱,۶۹۹	۰,۰۲۳	۲۰,۵۲۸	۱۵۰,۸۰,۸۲	۲,۴۹۶	۱,۸۷۰	۰,۰۵۳	۰,۰۳۲	۰,۰۰۰	۱۰۱,۵۴
۲۹	Kfs	۶۵,۳۸۵	۰,۰۰۰	۱۸,۹۱۴	۰,۰۰۰	۰,۰۱۷	۰,۰۱۲	۰,۰۰۰	۰,۰۹۵	۳,۰۸۹	۱۱,۷۷۹	۰,۰۰۰	۹۹,۷۱۲

جدول ۵ مقادیر مربوط به محاسبه فرمول ساختاری کانی‌های جدول ۴.

Sample	Mineral Type	Oxygen in formula	Si	Ti	Al	Cr	Fe ²⁺	Fe ³⁺	Mn	Mg	Ca	Na	K	Ni	Total
۲۶	Grt	۱۲	۲,۰۰۳	۰,۰۰۷	۱,۹۹۳	۰,۰۰۱	۱,۳۵۶	۰,۰۰۰	۱,۰۸۸	۰,۰۴۸	۱,۳۷۰	۰,۰۰۰	۰,۰۰۰	۰,۰۰۰	۷۸,۹۹۴
۲۷	Pl	۸	۲,۹۶۸	۰,۰۰۰	۱,۰۲۰	۰,۰۰۰	۰,۰۰۱	۰,۰۲۸	۰,۰۰۰	۰,۰۰۰	۰,۰۲۱	۰,۹۷۴	۰,۰۰۶	۰,۰۰۰	۵۰,۰۰۰
۲۸	Grt	۱۲	۲,۹۹۰	۰,۰۰۷	۱,۰۱۵	۰,۰۰۱	۱,۳۶۷	۰,۰۰۰	۱,۰۵۳	۰,۰۴۱	۰,۰۱۵۸	۰,۰۰۰	۰,۰۰۰	۰,۰۰۰	۸۰,۰۰۰
۲۹	Kfs	۸	۲,۹۷۸	۰,۰۰۰	۱,۰۱۵	۰,۰۰۰	۰,۰۰۱	۰,۰۲۱	۰,۰۰۱	۰,۰۰۰	۰,۰۰۵	۰,۳۱۷	۰,۰۸۴	۰,۰۰۰	۵۰,۰۰۰

جدول ۶ نتایج محاسبه درصد اعضای نهایی محلول جامد فلدوپات و گارنت موجود در دایک‌های تونالیتی موجود در افیولت ملاتز نایین.

Sample	Grt (۲۶)	Grt (۲۸)	Sample	Pl (۲۲)	Kfs (۲۱)
Pyrope	%۱۳,۶۶	%۱۲,۷۱	Anorthite	%۰,۰۳	%۰,۴۶
Almandine	%۴۵,۲۵	%۴۵,۷۶	Albite	%۹۰,۴۶	%۳۱,۵۱
Grossular	%۴,۵۴	%۵,۲۰	Orthoclase	%۰,۵۷	%۶۸,۰۳
Spessartine	%۳۶,۴۰	%۳۵,۷۵			
Andradite	%۰,۰۰	%۰,۰۰			
Uvarovite	%۰,۰۵	%۰,۰۷			

بررسی مراحل تشکیل اسکارن‌ها

با توجه به مطالعات دیگران [۱۳، ۱۴ و ۱۵]، که در مطالعه کانسارهای اسکارن پیشگام بوده‌اند، مراحل تکامل اسکارن‌ها که به موازات جایگزینی و تبلور توده‌های نفوذی شکل می‌گیرند، به صورت زیر تشخیص داد شد:

(۱) دگرگونی مجاورتی همراه با جایگزینی ماگما که کانی‌های سرشتی این مرحله گروسوکار (در شیل‌های آهکدار) و ولستونیت (در آهک چرت‌دار) است، ولی سنگ نفوذی دچار دگرسانی نمی‌شود.

(۲) تشکیل اسکارن (متاسوماتیسم) که همراه با تبلور ماگما و تولید شاره کانی‌ساز صورت می‌گیرد. در طی این مرحله آندرادیت و هدنبرژیت در سنگ آهک تشکیل می‌شوند و سنگ نفوذی دستخوش دگرسانی پتابسیک می‌شود.

(۳) دگرسانی پسرونده که در مرحله آخر تبلور سیستم بوده و طی آن کانسار سازی می‌تواند رخداد و کانی‌های موجود در اسکارن به کانی‌های آبدار تبدیل می‌شوند. مثلاً گروسوکار به اپیدوت، کلریت، و کلسیت تبدیل می‌شود. در طول این مرحله سنگ نفوذی دچار دگرسانی فیلیک خواهد شد.

با توجه به کانی‌های تشکیل دهنده اسکارن‌های موجود در این افیولیت که شامل گارنت (گروسوکار و آندرادیت)، کلینوپیروکسن و ولستونیت‌اند و نیز مطالعه دایک‌های تونالیتی که نشان می‌دهد که این سنگ‌ها چندان دگرسان نشده و تا حدودی دچار واکنش‌های پتابسیک شده‌اند، لذا می‌توان گفت که تشکیل این اسکارن‌ها به مرحله اول یعنی دگرگونی مجاورتی محدود بوده و تنها تا حدودی وارد مرحله دگرنهادی شده گردیده است.

زمین دماسنجی

زمین دماسنجی تونالیت‌ها

اصولاً دمای تونالیت‌ها پس از انجاماد کامل کانی‌هایشان، به تدریج کاهش می‌یابد ولی همچنان تا زمانی که کاملاً سرد نشده‌اند، می‌توانند به عنوان یک خاستگاه گرمایی برای تشکیل اسکارن‌ها به حساب آیند. بدیهی است که تونالیت تنها وقتی که به صورت آبگون بوده می‌توانسته است حرکت کرده و در کنار توده‌های آهکی قوارگیرد، و آنها را تحت تاثیر قرار داده باشد. بنابراین دماها و فشارهایی که هنگام زمین دماسنجی فلدسپات‌های موجود در تونالیت‌ها به دست می‌آید می‌تواند عامل تشکیل برخی کانی‌های دگرگون در آهکها به حساب آید، و کانی‌های مختلف موجود در اسکارن‌ها، ممکن است در دماهای متفاوتی به وجود آمده باشند. لذا زمین دماسنجی تونالیت‌ها با استفاده از روش یاد شده نمی‌تواند به تنها یک شرایط دما و فشار حاکم بر اسکارن‌ها را تعیین کند؛ بلکه تنها دمای تشکیل فلدسپات‌های تونالیت‌ها را ارائه می‌دهد. با وجود این، و با توجه به دماهای به دست آمده می‌توان تا حدودی گستره دمایی را که اسکارن‌ها آن را تحمل کرده‌اند برآورد کرد. در این مقاله به منظور زمین دماسنجی تونالیت‌ها از زمین دماسنج پلازیوکلаз - آلکالی فلدسپات (دو فلدسپات) و زمین دماسنج آلکالی فلدسپات استفاده شد.

^{۱۷} زمین دماسنج پلازیوکلاز - آلکالی فلدسپات: از این زمین دماسنج با سنجه بندی‌های افراد مختلف [۲۱ تا ۲۱] استفاده شد که نتایج آنها در جدول ۷ آورده شده‌اند. البته نتایج حاصل از روش ارائه شده توسط [۲۱]، در مقایسه با سایر نتایج بدست آمده دیگر، مقادیر بیشتری را ارائه می‌کند (در حدود 100°C) و تاثیر فشار در آن به اندازه سنجه‌بندی‌هایی که در سال‌های بعد ارائه شدند در نظر گرفته نشده است.

به طور کلی با توجه به نتایج حاصل مشاهده می‌شود که میانگین دمای تشکیل فلدسپات موجود در تونالیت‌ها در گستره فشار ۱ تا ۵ کیلوبار در 558°C تا 400°C قرار می‌گیرد.

جدول ۷ دما و فشار تشکیل فلدسپات موجود در تونالیت‌ها براساس زمین دماسنج فلدسپات پتانسیم - پلازیوکلاز.

Method:	Pressure (Kbar)				
	۱	۲	۳	۴	۵
Temperature (OC)					
Haselton et al (1983)	۵۵۸,۲۳	۵۵۸,۳۴	۵۵۸,۳۵	۵۵۸,۳۷	۵۵۸,۳۸
Nekvasil and Burnham (1987)	۴۴۷	۴۵۴	۴۶۳	۴۷۲	۴۸۹
Elkins and Grove (1990)	۴۸۵	۴۰۰	۴۲۱	۴۲۲	۴۲۳
Lindsley and Nekvasil (1988)	۴۶۹	۴۸۰	۴۸۳	۴۹۵	۴۱۱
Ghiorso (1984)	۴۳۵	۴۴۵	۴۶۰	۴۶۱	۴۷۵
Fuhrman and Lindsley (1988)	۴۸۱	۴۹۵	۴۰۸	۴۱۸	۴۲۸
Green and Usselman (1986)	۴۹۹	۴۸۳	۴۸۸	۴۰۴	۴۰۶

زمین دهاسنجی اسکارن‌ها براساس مجموعه کانی‌ها با توجه به مطالعات انجام گرفته می‌توان مجموعه کانی‌های^{۱۷} زیر را در اسکارن‌های نایین تشخیص داد:

(۱) کلسیت + کلینوپیروکسن + اسفن.

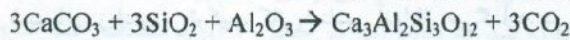
(۲) کلسیت + کلینوپیروکسن + گارنت + اسفن.

(۳) کلسیت + کلینوپیروکسن + گارنت + لاستونیت + ابیدوت + اسفن.

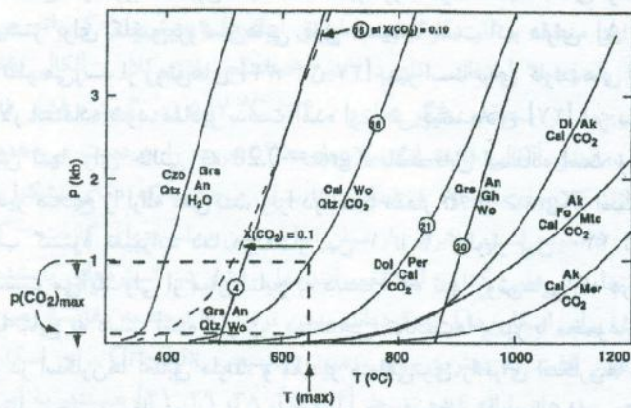
این مجموعه کانی‌ها در نمودار ACF، نزدیک به قطب C قرار می‌گیرند (شکل ۶C). همچنین مجموعه کانی‌های موجود در این اسکارن‌ها در نمودار $\text{CaO}-\text{Al}_2\text{O}_3-\text{SiO}_2$ (در حضور CO_2 و H_2O) نمایش داده شده‌اند (شکل ۶D). در این نمودار کانی‌های همزیست با خطوطی به هم وصل شده‌اند. به طور کلی با توجه به وجود کلینوپیروکسن در اسکارن‌های نایین، می‌توان گفت که پدیده دگرگونی مجاورتی تا حد رخساره پیروکسن هورنفلس بوده است. از آنجا که کانی-شناسی اسکارن‌ها تابعی از شرایط فیزیکی و شیمیایی آنهاست لذا با استناد به پایداری کانی-های آنها می‌توان به شرایط فشار و دمای حاکم بر این سنگ‌ها پی‌برد. اسکارن‌ها از نظر شیمیایی در سیستم باز (دگرنهادی) تشکیل می‌شوند و علاوه بر دما و فشار، متغیرهای شیمیایی زیادی بر ترکیب کانی-شناسی آنها اثر می‌گذارد. در شکل ۷ تعادل‌های فازی مربوط به کانی‌های موجود در اسکارن‌ها در شرایط دما و فشارهای مختلف نمایش داده شده‌اند. با توجه به این نمودار پایداری مجموعه کانی‌های موجود در اسکارن‌های نایین را می‌توان بین دو منحنی مربوط به واکنش‌های (۱۶) و (۴) دانست، یعنی در گستره 800°C و $P < 3\text{kbar}$ تا $T > 400^{\circ}\text{C}$ و $P > 0\text{kbar}$. بنابر پیشنهاد [۲۲] برای واکنش (۱۶) بهتر است از گستره‌ای که این خط دارای شبکه کمرنی است یعنی $P > 1\text{kbar}$ استفاده شود. چنانکه در شکل مشاهده می‌شود، X_{CO_2} می‌تواند بر شرایط دما-فشار پایداری کانی‌ها موثر باشد. به طوری که افزایش آن موجب کاهش دمای پایداری کانی‌ها می‌شود ولی بر مقدار فشار تاثیری ندارد. در این شکل خط منقطع که بیانگر شرایط دما و فشار جدید برای واکنش $\text{Wo} + \text{CO}_2 \rightarrow \text{Cc} + \text{Qtz}$ است که نشان می‌دهد حد دمای پایداری لاستونیت با افزایش X_{CO_2} از 55°C به 65°C کاهش می‌یابد ولی در فشار تغییری ایجاد نمی‌شود. براساس مطالعات تجربی [۲۳] دمای تشکیل

آندرادیت و گراسولار در حدود ۹۵۰-۲۲۵ درجه سانتیگراد و در مورد پیروکسن و گارنت در حدود ۵۰۰ تا ۸۰۰ درجه است. با توجه به گستره پایداری ولاستونیت، [۲۴] معتقد است که در شرایط فشار کم معادل سطح زمین، ولاستونیت حتی می‌تواند در دمایی کمتر از 400°C نیز تشکیل شود ولی با افزایش فشار گازکربنیک تا 0.5kbar ، کوارتز و کلسیت تا دمایی بیش از 800°C پایدار مانده و به ولاستونیت تبدیل نمی‌شوند. ولی وجود ولاستونیت در محل برخوردگاه با سنگ‌های اذرین می‌تواند بیانگر دمایی بیش از 400°C برای تشکیل ولاستونیت باشد. بنابراین هرچه میزان X_{CO_2} کاهش یابد دمای تشکیل ولاستونیت نیز کاهش می‌یابد [۲۴]. در شکل ۸، مشاهده می‌شود که ولاستونیت در دمای 860°C در فشارهای بالاتر از ۶ کیلوبار و در دمای حدود 700°C ، در فشار بیش از $4/4$ کیلوبار پایدار نبوده و به $\text{Cc} + \text{Qtz}$ تبدیل می‌شود.

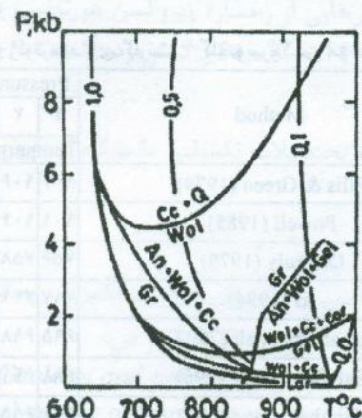
از آنجا که پایداری این کانی به P_{CO_2} محیط نیز بستگی دارد هرچه P_{CO_2} کاهش یابد، ولاستونیت بیشتری به وجود می‌آید زیرا واکنش بیشتر می‌تواند در جهت تولید ولاستونیت $(\text{Cc} + \text{Qtz} \rightarrow \text{Wol} + \text{CO}_2)$ پیش برود. از سویی دیگر کلسیت موجود در این سنگ‌ها علاوه بر شرکت در ساخت ولاستونیت می‌تواند به صورت واکنش



در ساخت گراسولار شرکت کند که البته این واکنش هم در صورتی که محیط کم باشد رخ می‌دهد. بدین ترتیب مشاهده می‌شود که برای تشکیل گراسولار و ولاستونیت لازم است که X_{CO_2} کم باشد. بنابراین با توجه به حضور این دو کانی در این سنگ‌ها، X_{CO_2} کم بوده است. با توجه به ترکیب ماگما (از اسیدی تا بازیک) و اسکارن مربوطه، و نیز عمق دگرگونی، [۲۲] معتقد است که بیشترین دما در دگرگونی‌های مجاورتی و اسکارن‌های همراه آنها از 650°C درجه سانتیگراد کمتر است. مطالعات [۲۶، ۲۵] نیز دمای $600-400^{\circ}\text{C}$ درجه سانتیگراد را برای تشکیل اسکارن بیشنهاد می‌کنند. همچنین با توجه به نظر [۲۲] تشکیل ولاستونیت در اغلب موارد در دمای کمتر از 550°C است، لذا می‌توان گفت که احتمالاً $P_{CO_2} < 0.1\text{kbar}$ بوده است. بنابراین با استناد به مطالعات گفته شده و دمای پایداری هر یک از کانی‌ها می‌توان گستره دمای دگرگونی و تشکیل انواع کانی‌های موجود در این اسکارن‌ها را در کمتر از 650°C و فشار کم CO_2 دانست. براساس مطالعات [۲۶] توزیع Fe بین گارنت و پیروکسن تابعی از P_{CO_2} ، فعالیت Si و Ca ، و نیز دماست. اکنون به منظور تعیین شرایط دمایی دقیق‌تر اسکارن‌های نایین از روش زمین دما‌سنجی گارنت-کلینوپیروکسن استفاده می‌شود:



شکل ۷ دیاگرام دما-فشار مربوط به شرایط دما و فشار تشکیل اسکارن. تعادل های فازی بوسیله برنامه GEOCALC (نوشه [۲۷]) محاسبه شده اند. کربن زدایی در شرایط $P_T = p(\text{CO}_2)$ و $X(\text{CO}_2) = 0.1$ می باشد (خط چین ها) (شکل برگرفته از [۲۸] می باشد و اختصارات به کار رفته برای اسامی کانی ها در آن برگرفته از [۸] است).



شکل ۸ محدوده دما و فشار مربوط به پایداری مجموعه کانی های اسکارن بر روی مذاب گرانیتی با وجود سیال H_2O و CO_2 [۲۹]. [اختصارات به کار رفته در شکل عبارتند از: Wol=wollastonite; (Cc=Calcite; Q=Quartz; An=Anorthite; Gr=Garnet; Gf=Gehlnite; Cor=Cordierite

زمین دماسنگ - کلینوپیروکسن

تاکنون این زمین دماسنگ توسط افراد مختلفی همچون [۲۷، ۲۰ الی ۴۰] استفاده شده است. البته همه این زمین دماسنگی ها براساس تبادل Fe-Mg بین گارنت و کلینوپیروکسن ساخته شده اند. در حالی که در اسکارن ها محتوای Ca بالاتر از Fe و Mg است. لذا به هنگام استفاده از

این زمین دماسنچ در مورد اسکارن‌ها با احتیاط برخورد شود. سنجه بندی ارائه شده توسط [۳۱] نیز بیشتر برای کلینوپیروکسن‌هایی قابل استفاده است که دارای Al پایین باشند. همچنین به نظر می‌رسد از روش‌های [۳۲، ۳۴] بهتر است برای گارنت‌های دارای Ca بالا یعنی گراسولار استفاده شود. مقادیر بدست آمده از روش پیشنهادی [۲۷] نیز بسیار پایین‌اند، زیرا این روش تنها برای حالتی که $\text{X}_{\text{grs}} = 0.20$ باشد قابل استفاده است و در مورد این سنگ‌ها مقادیر صحیح را ارائه نمی‌کند، زیرا در اینجا مقدار $\text{X}_{\text{grs}} > 0.76$ است (جدول ۳). به این ترتیب گستره تغییرات دما در فشار بین ۱ تا ۴ کیلوبار بین ۹۰۰ تا ۴۴۰ درجه سانتیگراد بدست می‌آید. ولی از میان نتایج به دست آمده تنها روش‌هایی که در آنها تغییرات دما و فشار با نتایج به دست آمده از زمین دماسنچی، تونالیت‌ها و نیز با مجموعه پاراژن کانی‌های موجود در اسکارن‌ها تطابق دارند، و مقادیر منطقی‌تری را برای اسکارن‌ها ارائه کرده‌اند. بدین ترتیب با توجه به مقایسه زمین دماسنچهای مختلف (جدول ۸) می‌توان گفت که بهترین روش زمین دماسنچ - Grt-Cpx برای اسکارن‌های منطقه مورد مطالعه، روش‌های ارائه شده توسط [۴۱، ۳۵، ۳۴، ۳۸، ۳۹] هستند. دمایی که این زمین دماسنچی‌ها به طور متوسط ارائه می‌کنند، در فشار کمتر از ۳ کیلوبار تقریباً معادل ۴۴۰ تا ۶۶۰ درجه سانتیگراد است.

جدول ۸ نتایج ژئوترمومتری گارنت - کلینوپیروکسن موجود در اسکارن‌ها.

Method	Pressure (Kbar)			
	۱	۲	۳	۴
	Temperature (°C)			
Ellis & Green (1979)	۹۰۴	۹۰۶	۹۰۹	۹۱۱
Powell (1985)	۹۰۱	۹۰۴	۹۰۶	۹۰۸
Ganguly (1979)	۷۵۶	۷۵۸	۷۶۰	۷۶۲
Ai (1994)	۷۱۷	۷۲۱	۷۲۵	۷۳۰
Nakamura et al. (2004)	۶۹۵	۶۹۸	۷۰۱	۷۰۴
Ganguly et al. (1996)	۶۸۸	۶۹۱	۶۹۵	۶۹۸
Krogh-Ravna (2000)	۶۵۱	۶۵۵	۶۵۹	۶۶۴
Saxena (1979)	۵۷۴	۵۷۸	۵۸۱	۵۸۵
Krogh (1988)	۴۷۲	۴۷۹	۴۸۲	۴۸۴
Raheim & Green (974)	۴۴۰	۴۴۵	۴۵۱	۴۵۶
Pattison & Newton (1989) for $\text{X}_{\text{grs}} = 0.20$	۱۶۱	۱۶۷	۱۷۲	۱۷۸

برداشت

اسکارن‌های این منطقه بر اثر دگرگونی مجاورتی آهک‌ها و بخش‌های کربناته چرت‌های نواری با تونالیت‌ها به وجود آمدند. کاربرد زمین دماسنج پلازیوکلاز-آلکالی فلدوپات برای تونالیت‌های موجود در منطقه، بیانگر دمای 400°C تا 557°C (در گستره فشار ۱ تا ۵ کیلوبار) است. زمین دماسنج آلکالی فلدوپات نیز دمای 575°C درجه را به دست می‌دهد. علاوه بر این مجموعه پاراژنز کانی‌های موجود در اسکارن‌ها نشان می‌دهند که دمای تشکیل اسکارن‌ها در کمتر از 650°C بوده است. بنابراین از میان انواع زمین دماسنج‌های گارنت-کلینوپیروکسن ارائه شده، تنها روش‌هایی که در آنها تغییرات دما و فشار در گستره‌های یادشده باشد مقادیر منطقی تری را برای اسکارن‌ها ارائه کردند. بدین ترتیب با توجه به مقایسه زمین دماسنج‌های مختلف می‌توان گفت که بهترین روش زمین دماسنجی Grt-Cpx برای اسکارن‌های منطقه مورد مطالعه، روش‌های ارائه شده توسط [۴۱، ۳۸، ۳۵، ۳۴] هستند. به این ترتیب دمای تشکیل اسکارن‌های نایین در فشار زیر ۳ کیلوبار، با استفاده از این سنجه بندی‌ها، تقریباً در گستره 440°C تا 460°C متغیر است.

لذا با توجه به دمای‌های به دست آمده می‌توان گفت که رخداد این دگرگونی در حد رخساره هورنبلند هورنفلس تا بخش‌هایی از رخساره پیروکسن هورنفلس، یعنی در فشارهای کمتر از ۳ کیلوبار و دمایی در حدود 440°C تا 460°C و کمتر بوده است.

سپاسگزاری

از دانشگاه کانازاوای ژاپن و تحصیلات تکمیلی دانشگاه اصفهان به خاطر حمایت‌های اشان سپاسگزاریم.

مراجع

- [۱] جباری ع.، "زمین‌شناسی و پترولوری افیولیت نائین"، رساله کارشناسی ارشد پترولوری گروه زمین‌شناسی دانشگاه اصفهان، (۱۳۷۶) ص. ۱۶۳.
- [۲] Davoudzadeh M., "Geology and petrography of the area north of Nain, Central Iran", Geological survey of Iran, Report 14 (1972) 89 p.
- [۳] آرایی ش.، شیردشتزاده ن.، شیراساکا م.، جباری ع.، ترابی ح.، "کانی‌شناسی اسکارن‌های موجود در افیولیت ملانژ شمال نایین (استان اصفهان، ایران)", مجله علمی پژوهشی علوم پایه دانشگاه اصفهان، (۱۳۸۵) جلد ۲۳، شماره یک، ص. ۲۲۸-۲۲۱.
- [۴] ترابی ق.، نوربهشت ا.، شیردشتزاده ن.، "مطالعه آمفیولیتها و اسکارن‌های افیولیت ملانژ شمال نایین، چکیده مقالات بیست و چهارمین گردهمایی علوم زمین، (۱۳۸۴) ص. ۲۱۵-۲۱۶.

- [5] Amri I., Ceuleneer G., Benoit M., Valladon M., El Boukari A., "Plagiogranites and K-feldspar granites in the Oman ophiolite: Low Temperature, hydrated magmas produced during oceanic crustal growth?", Joint Earth Sciences meeting, Oral programme - RSTGV2 (2004) Available: <http://www.cosis.net>
- [6] Droop G. T. R., "A general equation for estimating Fe^{3+} concentrations in ferromagnesian silicates and oxides from microprobe analyses, using stoichiometric criteria", Mineralogical Magazine 51 (1987) 431–435.
- [7] Spear F. S., "Metamorphic Phase Equilibria and Pressure-Temperature-Time Paths", Mineralogical Society of America (1995) 799 p.
- [8] Kretz R., "Symbols for rock-forming minerals", American Mineralogist 68 (1983) 277-279.
- [9] Dahlquist J. A., Galindo C., Pankhurst R. J., Rapela C. W., Alasino P. H., Saavedra J., Fanning C. M., "Magmatic evolution of the Penon Rosado granite: Petrogenesis of garnet-bearing granitoids", Lithos (2006) doi: 10.1016/j.lithos.2006.07.010.
- [10] Myashiro A., "Calcium-poor garnet in relation to metamorphism", Geochimica et Cosmochimica Acta 4 (1953) 179-208.
- [11] Ferry J. M., "Mineral reactions and element migration during metamorphism of calcareous sediments from the Vassalboro Formation, south-central Maine", American Mineralogist 68 (1983) 334-354
- [12] Morimoto N., "Nomenclature of pyroxenes", Canadian Mineralogist 27 (1989) p.143-156.
- [13] Knopf, A., 1918, Geology and ore deposits of the Yerington district, Nevada, U.S. Geology survey, Professional paper, v. 114, 68 p.
- [14] Lindgren, W., "The copper deposits of the Clifton –Morenci district, Arizona", U.S. Geology survey, Professional paper 43 (1905) 375 p.
- [15] Lindgren, W., "Contact metamorphism at Bingham, Utah", Geological Society of America Bulletin 35 (1924) 507-534.
- [16] Elkins L. T., Grove T. L., "Ternary feldspar experiments and thermodynamic models", American Mineralogist 75 (1990) 544-559.
- [17] Fuhrman M. L., Lindsley D. L., "Ternary-feldspar modeling and thermometry", American Mineralogist 73 (1988) 201-215
- [18] Green N. L., Usdansky S. I., "Ternary feldspar mixing relations and thermobarometry", American Mineralogist 71 (1986) 1100-1108.
- [19] Haselton H. T., Hovis G. L., Hemingway B. S., Robie R. A., "Calorimetric investigation of the excess entropy of mixing in albite – sanidine solid solution; lack of evidence for Na , K short range order and implication for two feldspars thermometry", American Mineralogist 68 (1983) 398-413.

- [20] Lindsley D. H., Nekvasil H., "A ternary feldspar model for all reasons (abs)", EOS, v. 70, no. 15 (1989) p. 506.
- [21] Nekvasil H., Burnham C. W., "The calculated individual effects of pressure and water content on phase equilibria in the granite system, in Mysen, B. O., ed., *magmatic processes*", Physicochemical principles: Geochemical Society, University Park, Pennsylvania (1987) 500 p.
- [22] Bowman J. R., "Basic Aspects and Applications of Phase Equilibria in the Analysis of Metasomatic Ca-Mg-Al-Fe-Si Skarns: In Mineralized Intrusion-Related Skarn Systems (D.R. Lentz, ed.)", Mineralogy Association Canadian Short Course 26 (1998a) 1-49.
- [23] Smirnov V. I., "Skarn deposits, In *Geology of Mineral Deposits.*", MIR Publication, Moscow (1976) 156-188.
- [24] Krauskopf B., "Introduction to Geochemistry", McGraw Hill: New York (1967) 617p.
- [25] Barnes H. L., "Solubilities of ore minerals. In geochemistry of hydrothermal ore deposits", 2nd edition(H. L. Barnes, ed.), John Wiley & sons, New York (1979) 404-460.
- [26] Einaudi M. T., Meinert L. D., Newberry R. J., "Skarn deposits, Economic Geology", 75th Annual (1981) 317-391.
- [27] Pattison D. R. M., Newton R. C., "Reversed experimental calibration of the garnet-clinopyroxene Fe-Mg exchange thermometer", Contributions to Mineralogical and Petrology 101 (1989) 87-103.
- [28] Bowman J. R., Essene E. J., "Contact skarn formation at Elkhorn, Montana. I: P-T component activity conditions of early skarn formation", American Journal of Science 284 (1984) 597-650.
- [29] Aksyuk A. M., "physico-chemical conditions of the formation of the magmatic stage. In skarns- their genesis and metallageny", (A. Barto-Kyriakidis, ed) Theophrastus Publishing & Proprietary Co., S.A., Athens, Greece(1991) 593-617.
- [30] Ai Y., 'A revision of the garnet-clinopyroxene Fe^{2+} -Mg exchange geothermometer', Contributions to Mineralogy and Petrology 115 (1994) 467-473.
- [31] Berman R. G., Aranovich L. Y., Pattison D. R. M., "Reassessment of the garnet-clinopyroxene Fe-Mg exchange thermometer: II. Thermodynamic analysis", Contributions to Mineralogy and Petrology 119 (1995) 30-42.
- [32] Ellis D. J., Green D. H., "An experimental study of the effect of Ca upon garnet-clinopyroxene Fe-Mg exchange equilibria", Contributions to Mineralogical and Petrology 71 (1979) 13-22.
- [33] Ganguly J., "Garnet and clinopyroxene solid solutions, and geothermometry based on Fe Mg distribution coefficient", Geochimica of Cosmochimica Acta, 43 (1979) 1021-1029.

- [34] Krogh E. J., "The garnet-clinopyroxene Fe-Mg geothermometer- a reinterpretation of existing experimental data", Contributions to Mineralogical and Petrology 99 (1988) 44-48.
- [35] Krogh-Ravna E., "The garnet-clinopyroxene Fe^{2+} -Mg geothermometer: an updated calibration", J. of Metamorphic Geology 18 (2000) 211–219.
- [36] Nakamura D., Svojtka M., Naemura K., Hirajima T., "Very high-pressure (>4 GPa) eclogite associated with the Moldanubian Zone garnet peridotite (Nové Dvory, Czech Republic)", J. of Metamorphic Geology 22 (2004) 593-603.
- [37] Powell R., "Regression diagnostics and robust regression in geothermometer /geobarometer calibration: the garnet clinopyroxene geothermometer revisited", J. of metamorphic Geology 3 (1985) 231 243.
- [38] Raheim A., Green D. H., "Experimental determination of the temperature and pressure dependence of the Fe-Mg partition coefficient for coexisting garnet and clinopyroxene", Contributions to Mineralogical and Petrology 48 (1974) 179-203.
- [39] Saxena S. K., "Garnet-clinopyroxene geothermometer", Contributions to Mineralogical and Petrology 70 (1979) 229-235.
- [40] Sengupta P., Dasgupta S., Bhattacharya P. K., Hariya Y., "Mixing behavior in quaternary garnet solid solution and an extended Ellis and Green garnet-clinopyroxene geothermometer", Contributions to Mineralogical and Petrology 103 (1989) 223-227.
- [41] Ganguly J., Cheng W., Tirone M., "Thermodynamics of aluminosilicate garnet solid solution: new experimental data, an optimized model, and thermometric applications", Contributions to Mineralogical and Petrology 126 (1996) 137-151.